

دقت نتایج ظرفیت بار بری شمع حاصل از اندازه‌گیری‌های دینامیکی با استفاده از روش PDA

محمد مهدی خوشبخت هروی (کارشناس ارشد)

علمی فاخرو (دانشیار)

محمد صادق معرفت (استاد)

دانشکده‌ی مهندسی عمران، دانشگاه تهران

آزمون‌گر دینامیکی شمع با استفاده از (PDA)^۱، امروزه به منزله‌ی روشی جدید در تخمین ظرفیت باربری شمع استفاده می‌شود. در حال حاضر، تطابق اطلاعات نمودار نیرو-زمان محاسبه شده با اطلاعات ثبت شده و انتخاب متغیرهای مقادیری خاک، با استفاده از نرم‌افزار مکمل آن (CAPWAP)^۲، برای بدست آوردن ظرفیت باربری شمع روندی تجربی است. لذا با در نظر گرفتن طبیعت آزمون و خطای موجود در الگوریتم برنامه و توزع در تعداد متغیرهای مؤثر خاک که CAPWAP در طی فرآیند بدست آوردن بهترین تطابق از آن استفاده می‌کند، ممکن است با انتخاب متغیرهای مختلف به شاخص تطابق یکسان با نتایج ظرفیت باربری متفاوت دست یافت. در بخش اول سعی شده است میزان تغییر در متغیرهای مختلف خاک و اثر آن روی توزیع ظرفیت باربری بین جدار و نوک شمع و ظرفیت باربری کلی، با هدف رسیدن به شاخص تطابق مشابه برای یک اندازه‌گیری مشخص، بررسی شوند. همچنین در ادامه، تجزیه و تحلیل اطمینان‌پذیری روی نمونه‌های مورد مطالعه انجام شده است. در این تجزیه و تحلیل با استفاده از روش طراحی ضربابار و مقاومند و با در نظر گرفتن نتایج حاصل از دو تحلیل استاتیکی و دینامیکی روی نمونه‌ی معین، یک شاخص اطمینان‌پذیری در برابر بارگسیختگی حاصل از تحلیل استاتیکی به دست آمده و همچنین اثر تغییر نتایج PDA روی شاخص اطمینان‌پذیری محاسباتی و همچنین تراز اینچنی طرح بررسی شده است.

mehdi.khoshbakht@gmail.com
afakher@ut.ac.ir
mmarefat@ut.ac.ir

وازگان کلیدی: آزمون دینامیکی شمع، CAPWAP، PDA، ظرفیت باربری، اطمینان نذری.

۱. مقدمه

المان های جرم متمرکز تقسیم می کند. سپس، باستی متغیرهای خاک (داده های ورودی) برای هر یک از المان های اطراف شمع و زیر نوک تعیین شوند. در ادامه، نرم افزار نمودار نیرو - زمان ناشی از موج موردنظر را محاسبه و آن را با نمودار بدست آمده از اطلاعات ثبت شده مقایسه می کند. در این مرحله باستی آن قدر متغیرهای خاک تغییر کنند تا بهترین هم پوشانی بین نمودار محاسبه شده و نمودار ثبت شده بدست آید. در انتها خروجی های برنامه، منحنی بار - تغییر مکان، ظرفیت باربری جدار و نوک، نحوه توزیع باربری جدار و متغیرهای خاک در طول شمع خواهد بود.

در این مطالعه، ابتدا اطلاعات مربوط به تعدادی از آزمون های انجام شده در مؤسسه دینامیک شمع امریکا (PDI) تهیه شد. این مؤسسه، سازنده دستگاه PDA است و اطلاعات مذکور در راهنمای دستگاه PDA وجود دارد. به علاوه اطلاعات دو نمونه از آزمایش های انجام شده در بندهای خدماتی و پتروشیمی عسکری خلیج فارس که در حین این تحقیق انجام شدند نیز جمع آوری و استفاده شده است، در مرحله بعد یک تختیخ اولیه از ظرفیت باربری شمع با نرم افزار

انجام آزمایش بر جای تعیین ظرفیت بار برابر شمع به منزله بخشی از طراحی و اجرای سازه های متکی به شمع به شمار می رود. حدود و روش انجام این آزمون به تجربه ای فرد در زمینه ای شمع کوبی در شرایط زمین شناسی مشخص و هزینه ای انجام عملیات بستگی دارد. آزمون با رگذاری استاتیکی به منزله ای معتبرترین روش برای بررسی رفتار شمع در نظر گرفته می شود، اما بسیار پرهزینه و زمان بر است و در بعضی موارد مانند سازه های فراساحل، فراهم آوردن شرایط لازم برای انجام آزمایش با رگذاری استاتیکی ناممکن به نظر می رسد. آزمون دینامیکی شمع، با استفاده از PDA، روشی جدید در تخمین ظرفیت بار برابر شمع است که اساس کار آن در تخمین اولیه ظرفیت بار برابر با استفاده از تحلیل معادله های دینامیکی انتشار موج یک جهنه در طول یک میله است. مکمل این دستگاه، برنامه بی مبتنی بر روش اجزاء محدود با عنوان CAPWAP است که با دنظر گرفت، معادله ها، تحلیل، مواد، شمع و به بکسی،

می‌شود و در نهایت از آن برای ارزیابی ظرفیت باربری شمع و توزیع مقاومت خاک در طول شمع با استفاده از روش‌های تطابق علائم و همچنین به دست آوردن متغیرهای دینامیکی خاک برای استفاده در تحلیل معادله‌ی موج استفاده می‌شود.

یک سیستم آزمون دینامیکی با کمیته‌ی دو حسگر کرنش سنجه (S1, S2) و دو حسگر شتاب‌سنجه (A1, A2) در امتداد یک قطر شمع و به صورت ضربه‌ی در دو طرف آن نصب می‌شوند تا بتوان آثار یکنواخت‌بودن ضربه‌ی چکشی و تنش‌های خمشی ایجاد شده در شمع را بررسی کرد. حسگرهای مذکور معمولاً در عمقی برابر با دو تا سه برابر قطر زیر سر شمع نصب می‌شوند و تقریباً هر نوع شمعی (بتنی، فولادی لوله‌یی، فولادی H شکل، بتنه پیش‌تینیده، چوبی و...) را می‌توان با استفاده از این سیستم آزمایش کرد.

این دستگاه، مقادیر کرنش و شتاب مربوط به موج انتقال‌یافته‌ی درون شمع ناشی از هر ضربه‌ی چکش را ثبت کرده و با داشتن مدول کشسانی و مساحت مقطع شمع، آنها را طبق رابطه‌های زیر به ترتیب به نیرو و سرعت تبدیل می‌کنند:

$$\varepsilon \xrightarrow{E, A} F(t) = EA\varepsilon(t) \quad (1)$$

$$a \longrightarrow V(t) = \int adt \quad (2)$$

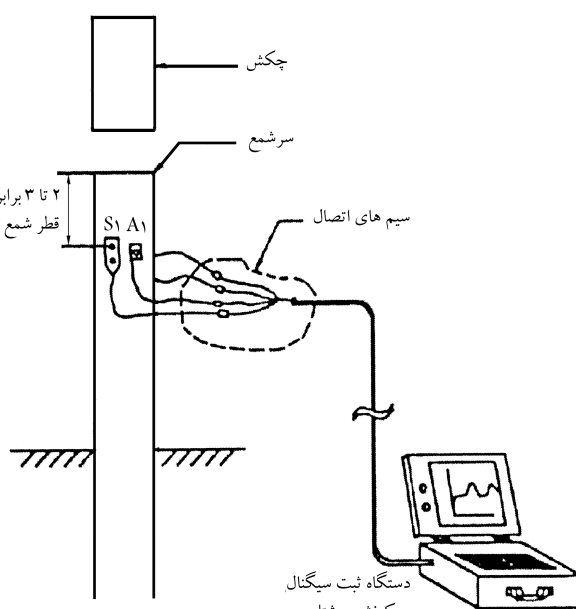
در رابطه‌های ۱ و ۲، E مدول کشسانی شمع، A مساحت مقطع شمع و F و V به ترتیب نیرو و سرعت موج انتقال‌یافته‌ی درون شمع هستند.

در زمان کوپش، دستگاه PDA کلیه‌ی انتگرال‌گیری‌ها و محاسبه‌های لازم برای تحلیل رکوردها را برای تعیین میزان انرژی انتقال یافته از چکش به شمع، تنش‌های ایجاد شده در زمان کوپش، کنترل سلامت شمع و مهم‌تر از همه، تخمین اولیه‌ی ظرفیت باربری با استفاده از معادله‌های روش استاندارد کیس^[۳] را انجام می‌دهد:

$$R_s = (1 - J_c)[P_1 + ZV_1]/2 + (1 + J_e)[P_2 - ZV_2]/2 \quad (3)$$

$$Z = EA/C \quad (4)$$

در معادله‌های ۳ و ۴، R_s ظرفیت باربری استاتیکی شمع به روش کیس، J_c میزان بدون بُعد کیس که محدوده‌هایی به صورت تجربی برای تعیین آن در خاک‌های مختلف



شکل ۱. ابزارگذاری شمع برای انجام آزمون PDA.

پیاده‌سازی شده در دستگاه، با عنوان W-PDA به دست آمد. سپس، برای رسیدن به بهترین هم‌بُشانی بین نمودارهای محاسباتی و ثبت شده، با هدف دست‌یابی به شاخص تطابق (MQ)^[۲] مشابه، سه تحلیل مجرای CAPWAP بر روی هریک از رکوردهای ثبت شده انجام شد تا با توجه به روند سعی و خطای موجود در حل معادله‌های حاکم بر تحلیل، میزان تغییر در متغیرهای مختلف خاک، توزیع ظرفیت با رابری بین جدار و نیک شمع، ظرفیت باربری کلی شمع و در نهایت دقت نتایج این آزمون برای رکوردي مشخص بررسی شود. در بخش دوم تحقیق نیز با داشتن نتایج طراحی استاتیکی با استفاده از فرمول‌های تجربی و همچنین نتایج آزمون PDA شمع‌های مورد مطالعه، از روش آماری درجه‌ی اول مطالعه‌ی اطمینان‌پذیری (FORM)^[۴] استفاده و اطمینان‌پذیری نتایج طرح با فرمول‌های استاتیکی با استفاده از نتایج PDA در مطالعه‌یی آماری بررسی شده است.

۲. تحقیقات پیشین

علی‌رغم جدید بودن نسبی آزمایش دینامیکی شمع، تحقیق‌های زیادی در این زمینه صورت گرفته است. البته بیشتر این تحقیق‌ها در زمینه‌ی مبانی و معادله‌های تئوری موضوع و ارزیابی صحبت نتایج حاصل از استفاده از آنها در برنامه، مقایسه‌ی نتایج آزمون با رگهاری استاتیکی و دینامیکی برای بررسی دقت نتایج آزمون دینامیکی، مفاهیم فیزیکی پارامترها، منابع خطأ در هنگام انجام آزمایش و بررسی محدوده‌ی تغییرات پارامترهای مؤثر برای خاک‌های مختلف بوده است. برای مثال، محققان علاوه بر مقایسه‌ی نتایج آزمون دینامیکی PDA و آزمون استاتیکی و همچنین ارزیابی رابطه‌های همبستگی مورد استفاده در CAPWAP، محدوده‌یی برای متغیرهای اصلی ورودی نرم‌فزار ارائه کرده‌اند.^[۱] و برخی دیگر به ارزیابی تطابق علایم با استفاده از روش اتوماتیک برنامه‌ی CAPWAP پرداخته^[۲] و نیز سعی در بیان مفهوم فیزیکی از میراثی روش کیس (Case damping) در دینامیک شمع داشته‌اند.^[۳]

همچنین در ایران نیز مطالعاتی بر روی آزمون دینامیکی شمع انجام شده است. برای مثال می‌توان به بیان کاربردهای عملی و بیان چندین آزمون PDA انجام شده در جنوب کشور برای جلوگیری از آسیب‌دیدگی شمع حین کوپش اشاره کرد.^[۴] محققان عوامل مؤثر در دقت نتایج آزمون دینامیکی PDA، مقایسه‌ی نتایج حاصل از آن با فرمول‌های دینامیکی و شرایط دست‌یابی به نتایج دقیق تر در این آزمون را ارزیابی کرده^[۵] و برخی در نوشتاری دیگر با استفاده از نتایج چندین آزمون PDA انجام شده در جنوب کشور و مقایسه‌ی نتایج آن با روابط دینامیکی کوپش شمع، رابطه‌یی تقریبی برای تخمين ظرفیت باربری شمع به دست آورده‌اند.^[۶]

تاکنون مطالعات چندانی در باره‌ی اعتمادپذیری نتایج PDA (براساس آنچه مورد نظر این مطالعه است) انجام نشده است.

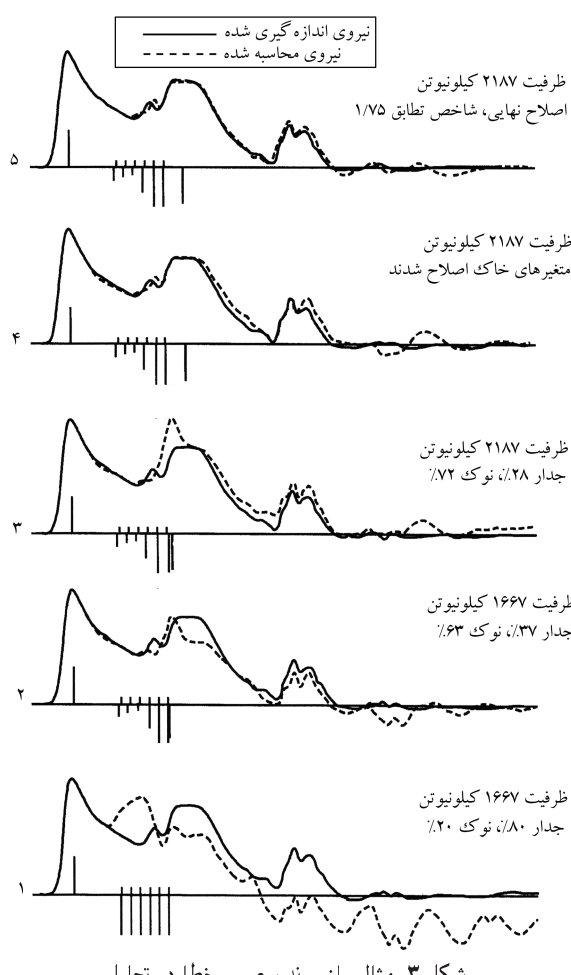
۳. تعیین ظرفیت باربری شمع با روش دینامیکی

روش‌های آزمون دینامیکی از ثبت اطلاعات کرنش و شتاب حاصل از حسگرهایی که در نزدیکی سر شمع نصب می‌شوند، استفاده می‌کنند. (شکل ۱) از این اطلاعات در ابتدا برای ارزیابی کارایی چکش شمع‌کوبی، تنش‌های ایجاد شده در شمع در زمان کوپش، سلامت شمع و تخمين اولیه‌ی ظرفیت باربری استاتیکی شمع استفاده

مورد نیاز نیروی تعادلی سر شمع (F_c) را که با نیروی (F_m) (که دستگاه PDA آن را ثبت کرده است) سنجش پذیر است، بدست می‌آورد. در ابتدا دو نیروی F_m و F_c با هم برابر نخواهند بود. لذا اصلاحات مورد نظر روی فرضیات مدل خاک و توزیع مقاومت باید آن قدر صورت‌گیرد و این روند سعی و خطأ آن قدر تکرار شود تا در نهایت مقادیر نیروی محاسبه شده (F_c) و نیروی ثبت شده (F_m) تا حد امکان با هم یکسان شوند و عملیات تطابق عالیم (Signal Matching) محاسبه شده و اندازه‌گیری شده پایان یابد (شکل ۲).

برنامه با هر تحلیل کیفیت تطابق عالیم را با مجموع قرمطاق تفاوت نسبی بین موج محاسبه شده و اندازه‌گیری شده ارزیابی می‌کند و در نهایت کیفیت تطابق مربوط به هر تحلیل را با عددی به نام شاخص تطابق (MQ) نشان می‌دهد (شکل ۳). براساس این روند و از طریق عملیات آزمون و خطأ، آنقدر مدل خاک اصلاح می‌شود تا جایی که اصلاح بیشتر نیروهای محاسبه شده و اندازه‌گیری شده سر شمع ممکن نباشد. در نهایت مدل به دست آمده از خاک به منزله‌ی بهترین تخمین از توزیع مقاومت خاک، ظرفیت باربری نهایی، مشخصه‌های میرایی، بیشینه‌ی تغییر مکان کشسان خاک و دیگر متغیرهای خاک معروفی می‌شوند.^[۸]

این تذکر لازم است که متغیر شاخص تطابق تابعی از مقدار اولیه در اولین تجزیه و تحلیل نیست و در نهایت باستی به کمینه‌یی مورد قبول برسد. مهم‌ترین خروجی‌های تحلیل، نمودار باربری استاتیکی و توزیع مقاومت در جدار و نوک شمع خواهند بود.



شکل ۳. مثالی از روند سعی و خطأ در تحلیل.

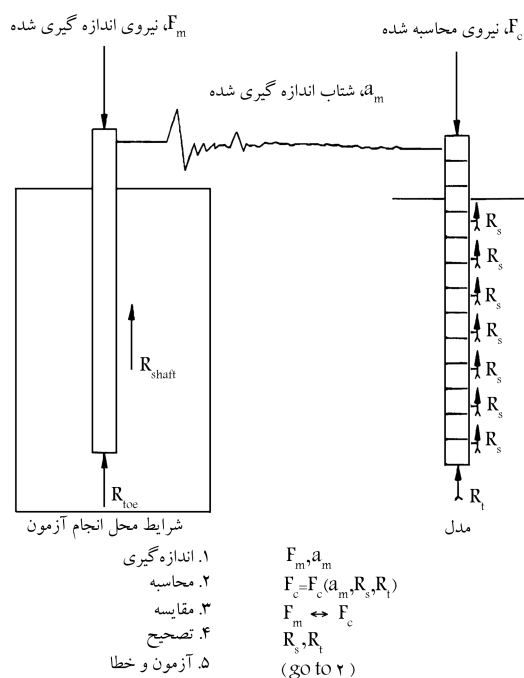
پیشنهاد شده است:^[۷] V_1 و V_2 سرعت ثبت شده ناشی از ضربه‌ی چکش در محل حس‌گرهای، به ترتیب در زمان زدن ضربه و $2L/C$ پس از زدن ضربه‌ی چکش در محل حس‌گرهای P_1 و P_2 نیروی ثبت شده ناشی از ضربه‌ی چکش در محل حس‌گرهای $2L/C$ پس از زدن ضربه‌ی چکش در محل حس‌گرهای $2L/C$ به ترتیب در زمان زدن ضربه و $2L/C$ پس از زدن ضربه‌ی چکش در محل حس‌گرهای زمانی که طول می‌کشد تا موج ایجاد شده بر اثر ضربه‌ی چکش به نوک شمع رفته و دوباره به محل حس‌گرهای بازگردد. L . طول شمع زیر حس‌گرهای C سرعت حرکت موج در مصالح شمع است؛ Z مقاومت ظاهری (Impedance) شمع؛ A و E به ترتیب مساحت مقطع و مدول کشسانی شمع هستند.

در ادامه، نمودارهای نیرو - زمان و سرعت - زمان ضبط شده از هر حس‌گر برای تعیین دقیق تر ظرفیت باربری به نرم‌افزار CAPWAP انتقال می‌یابند.

CAPWAP نرم‌افزاری مبتنی به روش اجزاء محدود، برای ارزیابی دقیق ظرفیت باربری استاتیکی شمع و توزیع مقاومت بین جدار و نوک و همچنین بدست آوردن متغیرهای مشخصه‌ی خاک مانند میرایی و بیشینه‌ی تغییر مکان کشسان خاک (Quake) است. این نرم‌افزار طی یک روند آزمون و خطأ، از معادله‌ی موج، مدل خاک و روش اجزاء محدود برای تحلیل دقیق استفاده می‌کند. در این پردازش مقدارهای نیرو و سرعت ثبت شده در حس‌گرهای دستگاه PDA در حکم شرایط مرزی سر شمع جایگزین مدل چکش می‌شوند.

در این روش، همان‌طور که در شکل ۲ نشان داده شده است، شمع با یک سری اجزاء پیوسته‌ی مدل شده، مقاومت استاتیکی خاک با یک سری فزهای کشسان خمیری و مقاومت دینامیکی با یک سری میراگر متصل به هرالمان شمع مدل می‌شود. از نیرو و سرعت ثبت شده در دستگاه PDA برای ارزیابی نیرو و حرکت شمع استفاده می‌شود. در نهایت فرآیند تحلیل به شرح زیر است:

در ابتدا از توزیع مقاومت خاک و متغیرهای میرایی و بیشینه‌ی تغییر مکان کشسان خاک تخمین منطقی می‌شود. سپس با استفاده از شتاب اندازه‌گیری شده (a_m)، مدل حرکت شمع در اثر ضربه ایجاد می‌شود. پس از آن برنامه با فرض متغیرهای



شکل ۲. فرآیند تطابق سیگنال‌ها در CAPWAP.

۴. مطالعه‌ی میزان تأثیر متغیرهای مختلف بر نتایج

PDA

نهایی تحلیل، درباره‌ی دقت نتایج به دست آمده از آزمون دینامیکی شمع با استفاده از PDA نتیجه‌گیری خواهد شد.

باید در نظر داشت که در هر تحلیل بسته به مورد، بیش از ۱۲ متغیر مؤثر خاک وجود دارد که تغییر صرفاً یک یا چند متغیر برای رسیدن به شاخص تطابق مورد نظر، احتمالاً منجر به ایجاد خطای فاحش در سایر متغیرها می‌شود. لذا تغییر متغیرهای خاک مانند میرایی خاک (Soil Damping)، بیشینه‌ی تغییر مکان المان خاک (Quake)، میرایی شمع (Pile Damping) و متغیرهای مربوط به باربرداری شمع و همچنین توزیع مقاومت بین المان‌های مختلف برای یافتن بهترین تطابق بین نمودارهای امواج ثبت شده و محاسباتی، بایستی با در نظر گرفتن کلیه متغیرهای مؤثر و همچنین تنش‌های تحمل پذیر در جدار و نوک شمع صورت گیرد. لذا در صورت نبودن گزارش زوتکنیک برای توصیف ساختگاه مورد نظر، احتمال خطای در تحلیل نتایج زیاد می‌شود، لذا بایستی از مشاهدات محلی، اطلاعات سایت‌های مجاور و حتی الامکان جدول‌های پیشنهاد شده‌ی منابع متغیر برای تخمین حدود متغیرهای خاک و محدوده‌ی تنش‌های تحمل پذیر برای خاک اطراف جدار و نوک شمع استفاده کرد. در ادامه، ابتدا به بررسی تغییر در متغیرهایی از خاک که در تعیین مشخصه‌های خاک پس از تحلیل مؤثر هستند، پرداخت و سپس تغییر در نتایج ظرفیت باربری را بیان کرد.

۴.۱. تغییر متغیرهای توصیف‌گر نوع خاک

از میان ۱۸ متغیر ورودی که شرح آن‌ها در راهنمای PDA آمده است، از تعدادی و یا همه‌ی آن‌ها برای عملیات تطابق سیگنال‌ها استفاده می‌شود، ۶ متغیر میرایی کیس برای نوک و جدار شمع، میرایی اسمیت برای نوک و جدار شمع و بیشینه‌ی تغییر مکان المان خاک برای نوک و جدار شمع به دلیل استفاده در تعیین نوع خاک، اهمیت بیشتری دارند، شکل‌های ۴ و ۵ تأثیر میرایی کیس و اسمیت را نشان می‌دهند. میرایی کیس و اسمیت با رابطه‌های ۵، ۶ و ۷ تعریف می‌شوند:

$$J_{si} = J_v / R_{si} \quad (5)$$

$$J_{c,skin} = \sum J_v / Z \quad (6)$$

$$J_{c,toe} = J_v / Z \quad (7)$$

در معادلات فوق، J_{si} میرایی اسمیت المان نام، J_v میرایی ویسکوز، R_{si} مقاومت استاتیکی المان نام، $J_{c,skin}$ و $J_{c,toe}$ به ترتیب میرایی کیس در جدار و نوک شمع و Z امپدانس شمع هستند.

طول (x) هر نقطه در شکل‌های ۴ و ۵ بیان‌گر میرایی و در شکل ۶ بیان‌گر بیشینه‌ی تغییر مکان کشسان خاک است. عرض (y) نقاط در هر سه شکل ۴، ۵ و ۶ نشان‌دهنده‌ی شماره‌ی نمونه است. در حالت کلی برای هر نمونه سه مقادیر متفاوت وجود دارد. البته گاهی مساوی بودن و یا نزدیک بودن مقادیر موجب شده است که سه نقطه در یک نمودار و برای یک نمونه، دو نقطه دیده شود. این تذکر لازم است که فاصله‌گرفتن نقاط مربوط به یک شماره در این مختصی نشان‌دهنده‌ی نتیجه‌ی خاصی نیست، زیرا به صورت عدم تغییر داده شده‌اند تا اثر آنها در ظرفیت باربری (جدول ۲) دیده و نتیجه‌گیری شود.

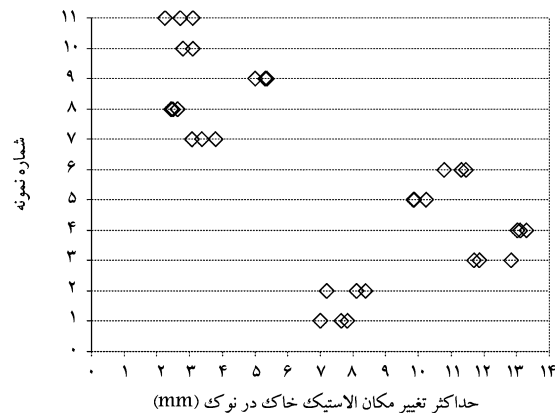
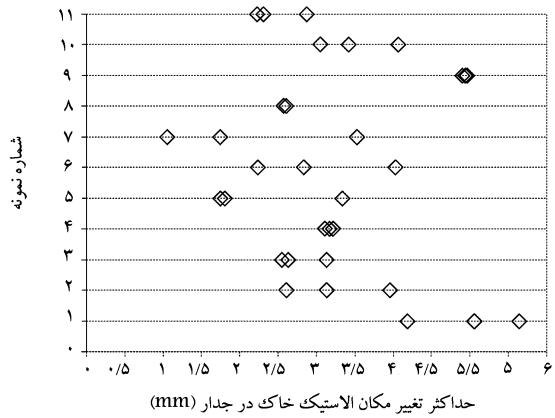
همان‌طور که ملاحظه می‌شود نتایج بالا نشان می‌دهند که با شاخص تطابق یکسان، مقادیر متفاوتی برای میرایی کیس و اسمیت در جدار و نوک شمع به دست می‌آیند. با در نظر گرفتن کوچک بودن دامنه‌ی کلی تغییرات برای این مقادیر، در بعضی موارد مانند نمونه‌های ۶، ۷ و ۱۱ تفاوت‌های محسوسی ایجاد شده است.

روش تحقیق ارائه شده در این قسمت از نوشتار مشابه کار انجام شده، در باره‌ی اثر متغیرهای مختلف در نتایج فرمول هیلی با اندازه‌گیری بر جهندگی است.^[۱] لیکن به دلیل پیچیدگی و تداخل اثر متغیرهای مختلف در آزمایش دینامیکی، بررسی اثر متغیرهای گوناگون در این تحقیق، مستلزم محاسبات رفت و برگشته مفصل است. برای بررسی دقت نتایج تحلیل آزمون دینامیکی با استفاده از CAPWAP، ابتدا تعداد زیادی رکورد ثبت شده از این آزمون برای شمع‌های بتني و فازی کوییده شده در خاک‌های مختلف، در نرم‌افزار PDA-W بررسی شدند. سپس، با اطمینان از اینکه رکوردهای مورد نظر چه از لحاظ نصب و کالیبره بودن حسگرها و چه از لحاظ وجود خرابی و یا یکنواخت نبودن بدنه شمع، بدون خطای در هنگام ثبت عالمی سرعت و شتاب هستند و همچنین پس از کنترل مجاز بودن تنش‌های بیشینه‌ی فشاری و کششی ایجاد شده در شمع، تعداد ۱۱ رکورد که ۹ مورد اول آن مربوط به آزمایش‌های شرکت PDI و نمونه‌های ۱۰ و ۱۱ از آزمون‌های مهندسان مشاور ساحل در بندرهای خدماتی و پتروشیمی واقع در عسلویه است، برای تحلیل‌های بعدی انتخاب شدند. مشخصه‌های مورد ذکر شده در جدول ۱ نشان داده شده است.

در مرحله‌ی بعد، اندازه‌گیری مربوط به هر نمونه در نرم‌افزار CAPWAP شد تا شاخص تطابق مناسب، برای تخمین ظرفیت باربری شمع به دست آید، که البته این کار مستلزم محاسبات رفت و برگشته مفصل است. تحلیل اشاره شده در بالا برای هر نمونه مورد آزمایش ۳ مرتبه، با تغییر متغیرهای ورودی و با هدف رسیدن به شاخص تطابق یکسان تکرار شد تا در نهایت میزان تغییر در نتایج به دست آمده از متغیرهای خاک، توزیع مقاومت در جدار، بین جدار و نوک و سرانجام تغییر در ظرفیت باربری کلی شمع برای آن رکورد مشخص شود. در آخر با داشتن مقادیر

جدول ۱. مشخصه‌های شمع‌های مورد مطالعه.

نمونه	شموع	عمق نفوذ (مترا)	خاک
۲۱	بتنی - مربعی به عرض ۱۶ اینچ	۲۱	لای
۴۳	فولادی - لوله‌ی به قطر ۱۴ اینچ	۲۲/۵	لای با تراکم متوسط روی لایی متراکم آبرفتی
۶۵	بتنی - هشت ضلعی (اکتاگنال) به قطر ۲۴ اینچ	۲۱/۳	لای و رس
۷	فولادی - لوله‌ی تہ بسته به قطر ۷۵/۷۵ اینچ	۲۳/۲	لایی ضعیف ماسه رس دار و لای دار روی سنگ آهک
۸	فولادی - H. شیل هوازده	۸/۲	لای رس دار روی
۹	فولادی - لوله‌ی به قطر ۲۸ اینچ	۳۳/۵	رس
۱۱۰	فولادی - لوله‌ی به قطر ۵۶ اینچ	۲۱/۲	ماسه‌گوارول

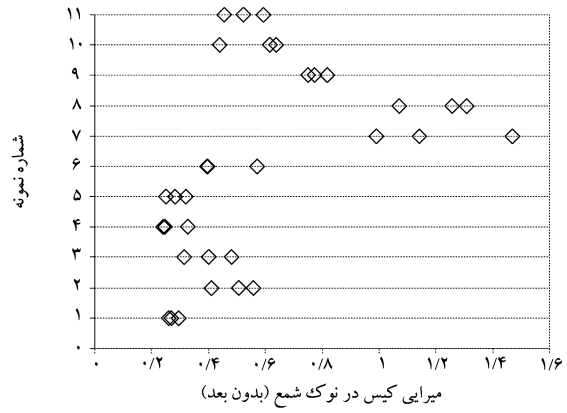
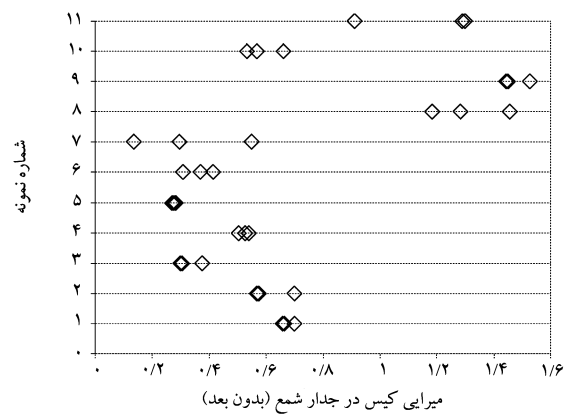


شکل ۶. نمودارهای میزان تغییر در متغیرهای بیشینه‌ی تغییر مکان کشسان خاک در جدار و نوک شمع.

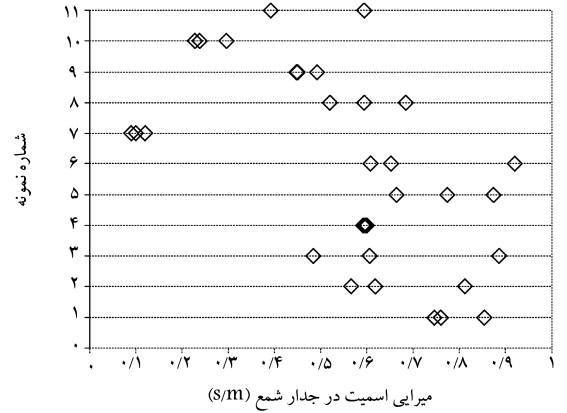
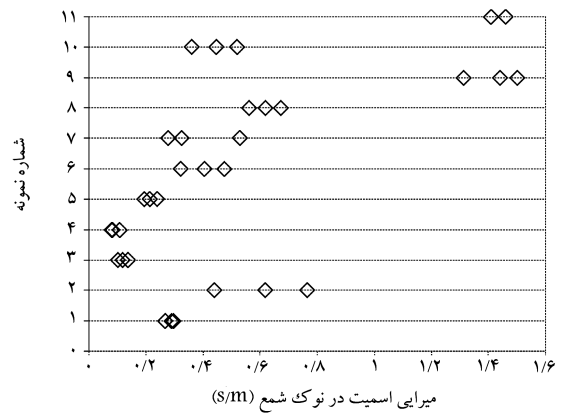
بیشینه‌ی تغییر مکان کشسان خاک در جدار و نوک نیز در بعضی موارد می‌توانند تغییر محسوسی در تحلیل‌های مختلف و با شاخص تطابق مشابه، نسبت به هم داشته باشند (شکل ۶). مثلاً در نمونه‌ی ۱ برای جدار، این مقدار از ۴, ۳, ۷, ۵ میلی‌متر، یعنی از محدوده‌ی انتهای شمع‌هایی با جابجایی کوچک (Low Displacement) که به محدوده‌ی ابتدای شمع‌هایی با جابجایی بزرگ (Large Displacement) مربوط است، تغییر داشته است. لذا در حالت کلی می‌توان نتیجه‌گرفت که در نبود مشخصه‌های ژوتکنیک خاک منطقه، شناخت مشخصه‌های مکانیکی خاک و قضایت در مورد نوع خاک با به دست آوردن این مقادیر، اعتبار لازم را خواهد داشت.

۴. تغییر ظرفیت باربری با ازای تحلیل‌های مختلف

بحث قسمت بعدی در ارتباط با دقت مهم‌ترین نتایج حاصل از تحلیل، یعنی توزیع ظرفیت باربری در جدار، بین جدار و نوک و در نهایت ظرفیت باربری نهایی شمع خواهد بود. در ابتدا این توضیح لازم است که با توجه به بررسی‌های انجام شده از معادله‌های استفاده شده در این روش، از متغیرهای مقاومت برشی خاک مستقیماً برای تعیین ظرفیت باربری استفاده نشده و از متغیرهای دینامیکی خاک استفاده شده است. در ادامه نمودارهای مقاومت تجمعی جدار شمع در عمق به ازاء سه تحلیل مختلف و با شاخص تطابق یکسان مطابق شکل‌های ۷ و ۸، همچنین نتایج ظرفیت باربری کلی شمع (مجموع جدار و نوک) نیز برآسانس روند ذکر شده در جدول ۲ نشان داده شده است.



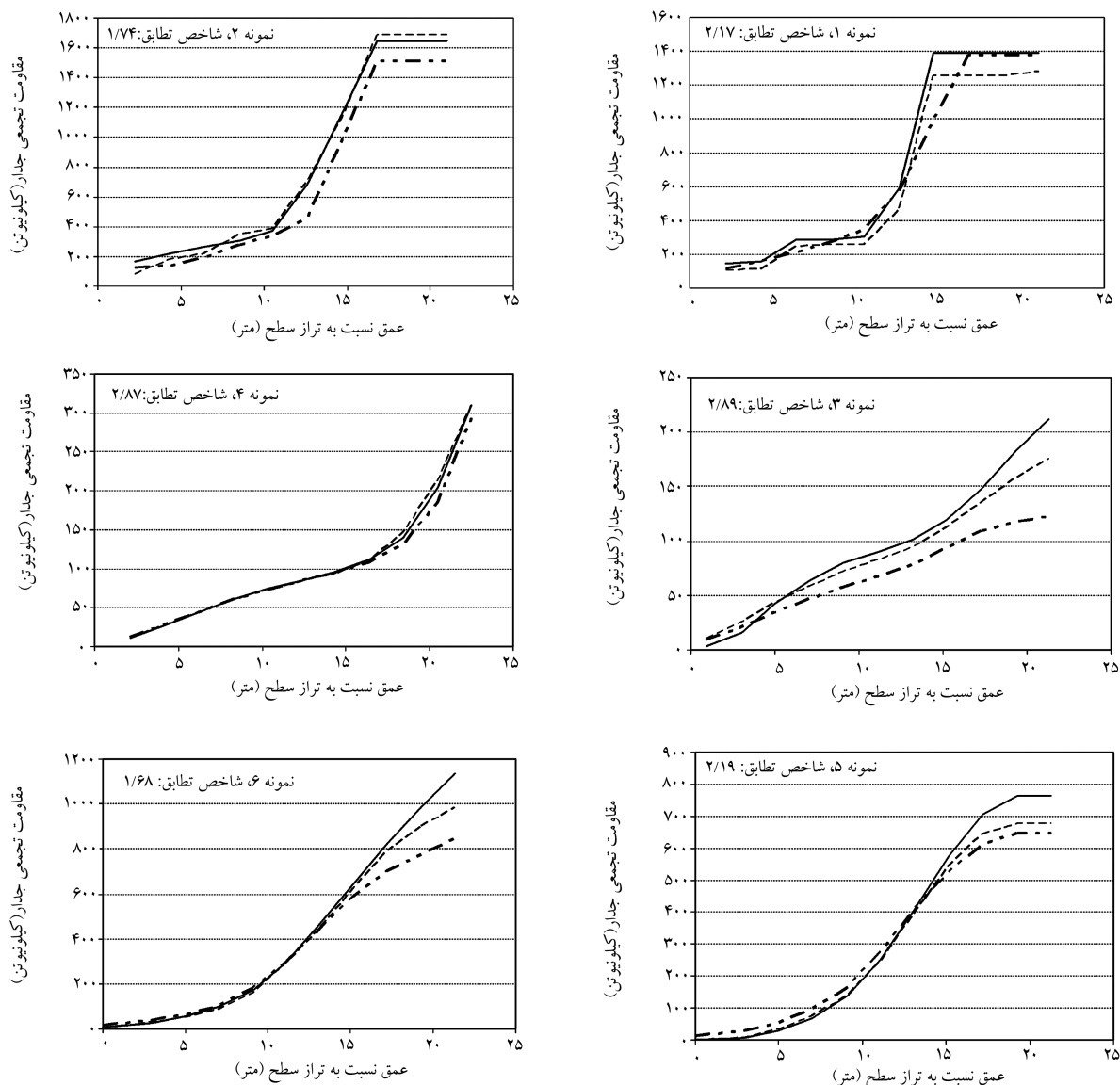
شکل ۴. نمودارهای میزان تغییر در متغیرهای میرایی کیس در جدار و نوک شمع.



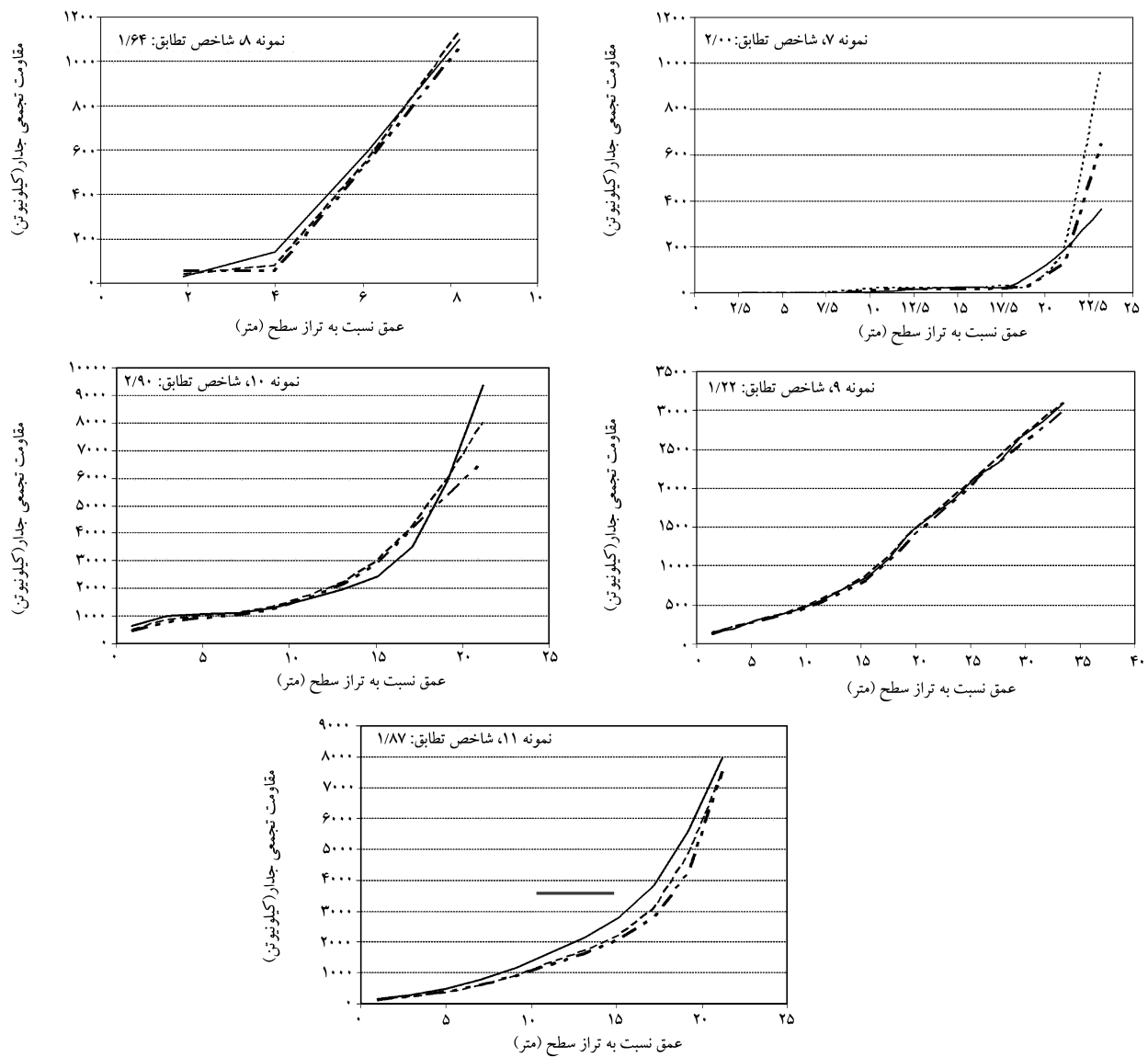
شکل ۵. نمودارهای میزان تغییر در متغیرهای میرایی اسمیت در جدار و نوک شمع.

جدول ۲. مقایسه مقدادیر نهایی تحلیل CAPWAP.

تحلیل سوم				تحلیل دوم				تحلیل اول				شاخص	نمونه
مقاومت نهایی (kN)	مقاومت نوک (kN)	مقاومت جدار (kN)	مقاومت نهایی (kN)	مقاومت نوک (kN)	مقاومت جدار (kN)	مقاومت نهایی (kN)	مقاومت نوک (kN)	مقاومت جدار (kN)	مقاطمت نهایی (kN)	مقاومت نوک (kN)	طابق		
۲۸۹۸	۱۵۱۲	۱۳۸۶	۲۸۱۵	۱۴۳۵	۱۳۸۰	۲۸۷۰	۱۵۹۲	۱۲۷۸	۲/۱۷	۱			
۲۹۷۹	۱۴۶۵	۱۵۱۴	۲۸۳۶	۱۱۴۸	۱۶۸۸	۲۹۴۰	۱۲۹۲	۱۶۴۸	۱/۷۴	۲			
۱۳۵۳	۱۲۳۰	۱۲۲	۱۳۹۱	۱۱۷۹	۲۱۲	۱۳۶۶	۱۱۹۱	۱۷۵	۲/۸۹	۳			
۱۳۵۱	۱۰۴۱	۲۱۰	۱۲۴۴	۱۰۵۱	۲۹۳	۱۳۵۷	۱۰۴۷	۳۱۰	۲/۸۷	۴			
۳۱۰۵	۲۵۰۷	۶۴۸	۳۱۷۴	۲۴۱۱	۷۶۳	۳۱۲۸	۲۴۵۱	۶۷۷	۲/۱۹	۵			
۳۱۲۹	۲۲۸۶	۸۴۳	۲۹۵۸	۱۸۲۱	۱۱۳۷	۳۱۷۰	۲۱۸۵	۹۸۵	۱/۶۸	۶			
۱۳۴۱	۹۷۷	۲۶۴	۱۴۴۴	۴۶۴	۹۸۰	۱۳۴۶	۶۹۹	۶۴۷	۲/۰۰	۷			
۲۲۳۶	۱۲۷۱	۱۰۶۵	۲۲۳۳	۱۲۰۰	۱۱۳۳	۲۲۵۵	۱۲۳۹	۱۰۹۶	۱/۶۴	۸			
۳۶۰۴	۵۱۵	۳۰۸۹	۳۵۷۴	۴۸۰	۳۰۹۴	۳۵۸۳	۶۰۰	۲۹۸۳	۱/۲۲	۹			
۱۲۷۷۴	۳۴۰۷	۹۳۶۷	۱۲۷۵۸	۴۷۴۶	۸۰۱۲	۱۲۶۸۵	۶۱۰۶	۶۵۷۹	۲/۹۰	۱۰			
۸۹۸۹	۱۰۳۸	۷۹۵۱	۸۷۰۱	۱۲۲۵	۷۴۷۶	۸۹۸۱	۱۴۸۸	۷۴۹۳	۱/۸۷	۱۱			



شکل ۷. نمودار میزان تغییر در مقاومت تجمعی جدار برای نمونه های ۱ تا ۶ (خطوط پیوسته و خط چین در هر شکل نشان دهنده سه تحلیل مختلف با متغیرهای ورودی مختلف برای یک نمونه هستند).



شکل ۸. نمودار میزان تغییر در مقاومت تجمعی جدار برای نمونه‌های ۷ تا ۱۱ (خطوط پیوسته و خط چین در هر شکل نشان‌دهنده‌ی سه تحلیل مختلف با متغیرهای ورودی مختلف برای یک نمونه هستند).

جهان طور که ملاحظه می‌شود، توزیع مقاومت در المان‌های جدار نیز می‌تواند متناسب با تغییر متغیرهای اصلی خاک، دریک محدوده‌ی کم (نمونه‌های ۴، ۸ و ۹)، متوسط (نمونه‌های ۱ الی ۶) و یا نسبتاً زیاد (نمونه‌های ۷ و ۱۱) تغییر کند. البته در نمونه‌های ۷ و ۱۱ به دلیل اینکه بیشینه‌ی تغییر مکان المان نوک و المان جدار مقادیر نزدیک بهم دارند، آخرین المان جدار و المان سرمش مع هم زمان فعال می‌شوند، لذا دقیقاً نمی‌توان مشخص کرد که توزیع مقاومت بین این دو المان چگونه صورت می‌گیرد.

در حقیقت برای دو نمونه ۷ و ۱۱، تفاوت مشهودی که بین مقاومت جدار و نوک شمع دیده می‌شود، فقط تفاوت در توزیع مقاومت بین المان آخر جدار و نوک شمع است و سایر مشخصات بقیه‌ی المان‌های جدار در یک محدوده‌ی کوچک تغییر کرده‌اند.

با توجه به مطلب فوق، در این نوشتار با توجه به عدم اطمینان از سهم مقاومت جدار و مقاومت نوک از ظرفیت باربری کلی، فقط به مقاومت کل (مجموع مقاومت‌های

۵. تجزیه و تحلیل اطمینان‌پذیری شالوده‌های عمیق بر پایه‌ی نتایج PDA

بررسی اعتماد به تاییج آزمایش PDA در قسمت قبلی با بررسی تغییر متغیرهای خاک و مقاومت در مرحله‌ی یافتن شاخص تطابق مناسب صورت گرفت و معلوم

جدول ۳. نتایج آماری بارهای مرده و زنده در طراحی پلها.

ضریب تغییرات (COV_λ)	میانگین (μ_λ)	بار مرده
۰,۰۸	۱,۰۳	- ناشی از ایلان پیش ساخته
۰,۱۰	۱,۰۵	- ناشی از ایلان ساخته شده
۰,۲۵	۱,۰۰	- در محل کارگاه
۰,۱۸	-۱,۲۰ ۱,۱۰	- آسفالت پوششی سطح زنده

به صورت زیر به دست می‌آید:

$$\lambda_{QD} = ۱,۰۳ \times ۱,۰۵ = ۱,۰۸$$

$$COV_{QD} = [(۰,۰۸)^2 + (۰,۱۰)^2]^{0.5} = ۰,۱۳$$

بار مرده: QD

توزیع ضرایب λ برای هر دو بار زنده و مرده با این فرض که تمام این مقادیر مشبّت هستند به صورت لوگ نرمال درنظر گرفته شده است.

۲.۵ آمار مقاومت

در این بخش ابتدا نیاز به داشتن دو سری اطلاعات است: (الف) اطلاعات مربوط به ظرفیت باربری نهایی شمع با استفاده از تجزیه و تحلیل استاتیکی، (ب) اطلاعات مربوط به ظرفیت باربری دینامیکی با استفاده از PDA. برای قسمت (الف) با توجه به در دسترس بودن اطلاعات محدودی از مشخصات زوتونکنیک شمع‌های مرد تحقیق، سعی بر آن شده است که از روشی استفاده شود که بیشترین تطابق را با اطلاعات زوتونکنیک موجود از نمونه‌های تحقیق داشته باشد، لذا با در نظر داشتن این مطلب از رابطه‌های ظرفیت باربری جانبو و API برای محاسبه ظرفیت باربری استاتیکی شمع‌ها استفاده شده است. برای قسمت (ب) نیز از نتایج موجود ظرفیت باربری با استفاده از PDA استفاده شده است.

آمار مقاومت در این مطالعه براساس ضرایب R تعریف شده است. این ضرایب از نسبت بار واقعی تحمل‌پذیر به وسیله‌ی شمع (براساس نتایج آزمون‌های استاتیکی و دینامیکی برجا) به ظرفیت باربری به دست آمدۀ از طراحی شمع با استفاده از رابطه‌های تجربی تعیین ظرفیت باربری به دست می‌آید. این مقادیر برای ۱۱ نمونه‌ی مرد تحقیق در جدول ۴ نشان داده شده است.

در جدول ۴ مقادیر ضرایب تغییرات مقاومت، COV_R ، با محاسبه‌ی میانگین و انحراف معیار ضرایب λ_R (به ترتیب $\lambda_{R,mean}$ ، μ_R و $\sigma_R(STDev)$) با استفاده از رابطه‌ی ۹ به دست آمده است:

$$COV_R = \frac{\sigma_R}{\mu_R} \quad (9)$$

همان‌طور که در بالا نیز گفته شد، λ نسبت بار واقعی تحمل‌پذیر شمع به بار طراحی آن است. این ضریب در حقیقت تمام عدم قطعیت‌های ناشی از منابع خطأ مانند خطأ در انجام آزمایش CAPWAP و تحلیل PDA، خطأ در تعیین متغیرهای مکانیکی خاک و خطأ در انتخاب نوع رابطه‌های مرد استفاده در محاسبه‌ی ظرفیت باربری استاتیکی شمع را در بر می‌گیرد. در جدول ۴ با توجه به مقادیر به دست آمده برای خطای نسبی λ ، نسبت به مقدار میانگین آن در هر نمونه کمتر از ۵٪ است. با توجه به خطاهای بالای موجود در تعیین ظرفیت باربری برجای شمع با استفاده

شد که چگونه نتایج این آزمون به ازاء تحلیل‌های مختلف و با داشتن شاخص تطبیق‌یکسان می‌توانند غایرکنند. در این قسمت تجزیه و تحلیل اطمینان‌پذیری که در زمینه‌های مختلف در مهندسی زوتونکنیک استفاده می‌شود،^[۱۰] برای یک شالوده‌ی عمیق در چارچوب ریاضی متدال انجام می‌شود که در آن از نتایج PDA استفاده شده است.

اولین قدم در ارزیابی اطمینان‌پذیری یا احتمال گسیختگی یک شالوده‌ی عمیق، تصمیم‌گیری در مورد حدود اطمینان مورد نیاز پروره است. این کار با بیان تابع حالت حدی مرتبط و متغیرهای بار (Q) و مقاومت (R) انجام می‌شود. تابع حالت حدی را می‌توان به صورت یک تابع ریاضی مثل $\Phi(R, Q) = g(R, Q)$ تعریف کرد که g می‌تواند تابعی خطی و یا غیرخطی از R و Q باشد. گسیختگی زمانی رخ می‌دهد که $g(R, Q) < 0$ تعریف می‌شود:

$$P_f = \iint_{g < 0} f_{R, Q}(r, q) dr dq \quad (8)$$

که در آن $f_{R, Q}(r, q)$ تابع چگالی احتمال مشترک برای متغیرهای پایه‌ی r و q است و انتگرال‌گیری روی ناحیه‌ی گسیختگی ($\Phi < 0$) صورت می‌گیرد. معادله‌ی ۸ در حکم معادله‌ی پایه‌ی تحلیل‌های اطمینان‌پذیری به شمار می‌رود. به طور کلی باقتن تابع چگالی احتمال مشترک متغیرهای تصادفی مشکل است و تابع چگالی احتمال مستقل متغیرهای تصادفی PDF.^۵ نیز همیشه به صورت صریح قابل دسترسی نخواهد بود. لذا تقریب‌های تحلیلی از این انتگرال به کار گرفته شده تا با استفاده از آن بتوان اطمینان‌پذیری یا احتمال گسیختگی را محاسبه کرد. در این تحقیق از یکی از روش‌های تقریب‌زنی اطمینان‌پذیری درجه‌ی یک (FORM) با عنوان MVFOSM^۶ استفاده شده است.

۱.۵ آمار بارگذاری

آمار بارگذاری واقعی سازه‌ها در طول عمر بهره‌برداری آنها عموماً وجود ندارد. در این تحقیق نیز با توجه به دسترسی نداشتن به اطلاعات آماری بارگذاری شمع‌های مرد تحقیق و ضرایب بار آین نامه‌ی طراحی به روش ضرایب مقاومت و بار (LRFD) و آین نامه‌ی (AASHTO)^۷ استفاده شده است. این آمار را که در جدول ۳ نشان داده شده است، نووک (Nowak) در سال ۱۹۹۲ به دست آورد.^[۱۰] همچنین در مطالعه‌ی اطمینان‌پذیری تکیب بارهای مرد و زنده (تقلیل) مدنظر قرار گرفته است. زیرا عموماً این ترکیب بار در طراحی پل‌ها به منزله‌ی ترکیب بار حاکم است و لذا در حکم محافظه‌کارانه‌ترین حالت برای ارزیابی شاخص اطمینان‌پذیری و احتمال گسیختگی در نظر گرفته می‌شود. ضرایب باری که در اینجا استفاده شده‌اند به ترتیب برابر با ۱/۲۵ برای بار مرده و ۱/۶۵ برای بار زنده است. آمار بارگذاری که در تحلیل اطمینان‌پذیری استفاده می‌شود شامل متغیرهای میانگین (μ)، ضرایب تغییرات (COV)، انحراف معیار ($STDev$)^۸ و ضرایب نسبت بار واقعی اعمال شده به شمع به بار طراحی شمع (λ) تعریف می‌شوند. با توجه به جدول ۳، بیشترین تغییرات در وزن آسفالت پوششی سطح روی عرشه‌ی پل دیده می‌شود.

البته با توجه به اینکه درصد بسیار کوچکی از کل بارهای مرده‌ی سازه به وزن آسفالت پوششی سطح اختصاص دارد، می‌توان در محاسبه‌های میانگین (μ)، ضرایب تغییرات (COV) و λ برای بارهای مرد، از آن صرف نظر کرد. بنابراین با حذف بار مرده‌ی ناشی از آسفالت پوششی سطح مقادیر μ ، COV و λ برای بارهای مرد

جدول ۴. محاسبه‌ی ضرایب تحلیل اطمینان‌پذیری نمونه‌های مورد تحقیق.

نمونه	نتایج CAPWAP (kN)	ظرفیت بازیری استاتیکی Janbu _{toe} + API _{skin} (kN)	λ_R	خطای λ_R به‌ازای هر تحلیل نسبت به میانگین نمونه‌ها (درصد)	متغیرهای آماری λ_R
$\lambda_{R,mean} = 0,9580$ $STDev(\lambda_R) = 0,02074$ $COVR = 0,0216$	۲۸۷۰	۳۰۱۶	۰,۹۵	۰,۳۱	
	۲۸۱۵	۳۰۱۶	۰,۹۳	۱,۶۱	
	۲۸۹۸	۳۰۱۶	۰,۹۶	۱,۲۹	
	۲۹۴۰	۳۰۱۶	۰,۹۷	۰,۷۴	
	۲۸۳۶	۳۰۱۶	۰,۹۴	۲,۸۲	
	۲۹۷۹	۳۰۱۶	۰,۹۹	۲,۰۸	
$\lambda_{R,mean} = 0,7690$ $STDev(\lambda_R) = 0,00094$ $COVR = 0,0216$	۱۳۶۶	۱۷۶۹	۰,۷۷	۰,۲۹	
	۱۳۹۱	۱۷۶۹	۰,۷۹	۱,۰۳	
	۱۳۵۳	۱۷۶۹	۰,۷۶	۱,۲۴	
	۱۳۵۷	۱۷۶۹	۰,۷۷	۰,۴۷	
	۱۳۴۴	۱۷۶۹	۰,۷۶	۰,۴۹	
	۱۳۵۱	۱۷۶۹	۰,۷۶	۰,۰۲	
$\lambda_{R,mean} = 0,7708$ $STDev(\lambda_R) = 0,0188$ $COVR = 0,0260$	۲۱۲۸	۴۳۲۷	۰,۷۲	۰,۷۷	
	۲۱۷۴	۴۳۲۷	۰,۷۳	۰,۶۹	
	۲۱۵۵	۴۳۲۷	۰,۷۳	۰,۰۸	
	۲۱۷۰	۴۳۲۷	۰,۷۳	۲,۷۳	
	۲۹۵۸	۴۳۲۷	۰,۶۸	۴,۱۴	
	۲۱۲۹	۴۳۲۷	۰,۷۲	۱,۴۰	
$\lambda_{R,mean} = 1,0573$ $STDev(\lambda_R) = 0,0446$ $COVR = 0,0422$	۱۳۴۶	۱۳۰۲	۱,۰۳	۲,۲۵	
	۱۴۴۴	۱۳۰۲	۱,۱۱	۴,۸۷	
	۱۳۴۱	۱۳۰۲	۱,۰۳	۲,۶۱	
	۲۲۵۵	۶۷۰	۳,۵۲	۰,۵۸	
	۲۲۳۳	۶۷۰	۳,۴۸	۰,۳۶	
	۲۲۳۶	۶۷۰	۳,۴۹	۰,۲۳	
$\lambda_{R,mean} = 0,4745$ $STDev(\lambda_R) = 0,0020$ $COVR = 0,0043$	۳۵۸۳	۷۵۵۹	۰,۴۷	۰,۱۱	
	۳۵۷۴	۷۵۵۹	۰,۴۷	۰,۳۶	
	۳۶۰۴	۷۵۵۹	۰,۴۸	۰,۴۷	
	۱۲۶۸۵	۲۲۰۷۷	۰,۵۷	۰,۴۲	
	۱۲۷۵۸	۲۲۰۷۷	۰,۵۸	۰,۱۵	
	۱۲۷۷۴	۲۲۰۷۷	۰,۵۸	۰,۲۷	
$\lambda_{R,mean} = 0,4899$ $STDev(\lambda_R) = 0,0956$ $COVR = 0,1952$	۱۱-۱	۲۲۰۷۷	۰,۴۱	۱,۰۲	
	۱۱-۲	۲۲۰۷۷	۰,۳۹	۲,۱۳	
	۱۱-۳	۲۲۰۷۷	۰,۴۱	۱,۱۱	

اطمینان‌پذیری یا احتمال‌گسیختگی را محاسبه کرد. در این مطالعه از روش‌های تقریب‌زنی FORM یا همان اطمینان‌پذیری درجه‌ی یک برای یافتن جواب انتگرال معادله‌ی ۸ با عنوان تحلیل مقدار میانگین درجه‌ی اول، لنگر دوم (MVFOSM) استفاده شده است. در تحلیل MVFOSM از تقریب درجه‌ی اول سری تیلور برای سطح تابع حالت حدی $(g(R, Q))$ استفاده می‌شود و این تابع با استفاده از مقادیر میانگین متغیرهای تصادفی به یک تابع خطی تبدیل می‌شود. همچنین در همان طور که در ابتدای این بخش گفته شد، حل صریح معادله‌ی ۸ به‌منظمه‌ی معادله‌ی پایه‌ی تحلیل‌های اطمینان‌پذیری نیز فقط از آمارهای لنگر دوم (میانگین و انحراف معیار) متغیرهای تصادفی استفاده می‌کند. در این مطالعه دو متغیر تصادفی اساسی بار (Q) و مقاومت (R) در نظر گرفته شده است که برای هر دوی آنها از توزیع آماری

از روش‌های مختلف می‌توان نتیجه گرفت که نتایج آزمون PDA در این بررسی اطمینان‌پذیری لازم را دارد.

۳.۵. بررسی اطمینان‌پذیری با استفاده از تحلیل درجه‌ی اول، (FORM) لنگر دوم

همان‌طور که در ابتدای این بخش گفته شد، حل صریح معادله‌ی ۸ به‌منظمه‌ی معادله‌ی پایه‌ی تحلیل‌های اطمینان‌پذیری معمولاً ممکن نیست. لذا برای محاسبه‌ی انتگرال معادله‌ی ۸ تقریب‌های تحلیلی به‌کار گرفته می‌شوند تا بتوان با استفاده از آن

در رابطه‌های ۲۰ و ۲۱، QD بار مرده و QL بار زنده هستند که به صورت متغیرهای تصادفی مستقل فرض می‌شوند، لذا خواهیم داشت:

$$COV_Q^r = COV_{QD}^r + COV_{QL}^r \quad (22)$$

در انتهای پس از ساده‌سازی می‌توان رابطه‌ی ۱۴ را به صورت معادله‌ی ۲۳ بازنویسی کرد:

$$\beta = \frac{\ln \left[\frac{\lambda_R FS(\frac{QD}{QL} + 1)}{\lambda_{QD} \frac{QD}{QL} + \lambda_{QL}} \sqrt{\frac{1 + COV_{QD}^r + COV_{QL}^r}{1 + COV_R^r}} \right]}{\ln [(1 + COV_R^r)(1 + COV_{QD}^r + COV_{QL}^r)]} \quad (23)$$

رابطه‌ی ۲۳ شاخص اطمینان‌پذیری طرح شالوده‌ی عمیق با استفاده از فرمول‌های استاتیکی را نشان می‌دهد. این شاخص که بیان‌گر احتمال گسیختگی طرح شمع با استفاده از تجزیه و تحلیل استاتیکی است، براساس مقایسه‌ی نتایج طرح با آمار دقیق ظرفیت باربری واقعی شمع حاصل از نتایج آزمون PDA به دست آمده است. از رابطه‌ی ۲۳ چنین برمی‌آید که شاخص اطمینان‌پذیری تابعی از ضربی اطمینان طراحی (FS)، نسبت بار مرده به زنده (QD/QL)، آمار بار (λ_{QL})، آمار بار (λ_R)، COV_{QL} و COV_{QD} است. در این مطالعه نسبت‌های مختلف QD/QL برابر با 0.5 ، 0.1 ، 0.2 و 0.3 و همچنین ضربای اطمینان 2 و 5 و 3 در نظر گرفته شده است.

نتایج حاصل از محاسبه‌ی شاخص اطمینان‌پذیری β در جدول ۵ نشان داده شده است. در این جدول از مقادیر ذکر شده در جدول ۳ به مبنای متغیرهای بارگذاری استفاده شده است.

همان‌طور که در جدول ۵ دیده می‌شود، شاخص اطمینان‌پذیری (β) به نسبت‌های مقاومت بارگذاری حساس نبوده و تغییر بسیار کمی از خود نشان می‌دهد. اما میزان همچنین ملاحظه می‌شود که بعضی از مقادیر β نیز در جدول ۵ منفی هستند. با توجه به اینکه در این تحقیق هر دو متغیر بار و مقاومت با استفاده از توزیع لوگ‌نرمال بسط یافته‌اند و شاخص اطمینان‌پذیری نیز براساس یک رابطه‌ی لگاریتمی تعریف شده است، وقتی که ضربی میانگین R λ_R خیلی کوچک باشد، عبارت داخل کروشه در صورت کسر معادله‌ی ۲۷ می‌تواند مقادیر کمتر از یک نیز به خود بگیرد که با لگاریتم‌گیری از آن شاخص β منفی خواهد شد. شاخص اطمینان‌پذیری به لحاظ تئوریک می‌تواند مقادیر منفی نیز به خود بگیرد و چنین مقداری بدان معنی است که حتی با در نظر گرفتن ضربی اطمینان (FS) ۳ در طرح، روش به کار گرفته شده در طرح شالوده مناسب نبوده و سازگاری لازم با شرایط زئوتکنیک منطقه‌ی مورد نظر را ندارد.

اعداد منفی و اعداد نزدیک به صفر در حقیقت نشان‌گر شاخص اطمینان‌پذیری بسیار پایین طرح و احتمال گسیختگی بالای ۵۰٪ است. در عین حال، در محدوده‌ی کارهای مهندسی شاخص اطمینان‌پذیری ۲ (معادل احتمال گسیختگی ۱۰٪) در مقایسه‌ی نتایج طرح استاتیکی نسبت به بار واقعی تحمل پذیر به وسیله‌ی شمع تقریباً به مبنای شاخص مناسب در طرح به شمار می‌رود. لذا اعداد در حدود ۲ و بزرگ‌تر از آن نشان‌گر اطمینان‌پذیری روش به کار گرفته شده در طرح استاتیکی شالوده عمیق است.

با توجه به توضیح ذکر شده، این مطلب را می‌توان درک کرد که شاخص اطمینان‌پذیری در حقیقت تفسیری از احتمال گسیختگی طرح برای ظرفیت باربری

لوگ‌نرمال استفاده می‌شود. لذا در این حالت تابع حالت حدی به صورت زیر تعریف می‌شود:

$$g(R, Q) = \ln\left(\frac{R}{Q}\right) = \ln(R) - \ln(Q) \quad (10)$$

فرض می‌شود که متغیرهای تصادفی R ، Q مستقل از یکدیگر هستند و توزیع حاکم بر متغیرها لوگ‌نرمال است. لذا $\ln(R)$ و $\ln(Q)$ توزیع نرمال خواهند داشت. پس در نهایت میانگین تابع چگالی احتمال (\bar{g}) به صورت رابطه‌ی ۱۱ تعریف می‌شود:

$$\bar{g} = \overline{\ln(R)} - \overline{\ln(Q)} \quad (11)$$

در رابطه‌ی ۱۱، طبق تعریف متغیرهای توزیع لوگ‌نرمال داریم:

$$\overline{\ln(R)} = \ln(\bar{R}) - \ln(1 + COV_R^r)^{0.5} \quad (12)$$

$$\overline{\ln(Q)} = \ln(\bar{Q}) - \ln(1 + COV_Q^r)^{0.5} \quad (13)$$

$$\bar{g} = \ln\left(\frac{\bar{R}}{\bar{Q}}\right) \sqrt{\frac{1 + COV_Q^r}{1 + COV_R^r}} \quad (14)$$

انحراف معیار دو متغیر مستقل نیز در توزیع لوگ‌نرمال به صورت رابطه‌ی ۱۵ تعریف می‌شود:

$$\varepsilon_R = \sqrt{\ln(1 + COV_R^r)(1 + COV_Q^r)} \quad (15)$$

که در آن، \bar{R} ، \bar{Q} میانگین مقادیر بار و مقاومت و COV_Q و COV_R و ضربای تغییرات R ، Q هستند.

براساس تعریف Haldal و همکاران در سال ۲۰۰۰، شاخص اطمینان‌پذیری، β ، به صورت نسبت \bar{g} به ε_R بیان می‌شود:

$$\beta = \frac{\ln \left[\frac{\bar{R}}{\bar{Q}} \sqrt{\frac{1 + COV_Q^r}{1 + COV_R^r}} \right]}{\sqrt{\ln(1 + COV_R^r)(1 + COV_Q^r)}} \quad (16)$$

مقادیر میانگین بار و مقاومت را می‌توان براساس بار و مقاومت اسمی R_n ، Q_n و λ_R به ترتیب \bar{Q} و \bar{R} به صورت رابطه‌های ۱۷ و ۱۸ تعریف کرد:

$$\bar{Q} = \lambda_Q Q_n \quad (17)$$

$$\bar{R} = \lambda_R R_n \quad (18)$$

در نتیجه معادله‌ی ۱۶ به صورت رابطه‌ی ۱۹ خواهد شد:

$$\beta = \frac{\ln \left[\frac{\lambda_R R_n}{\lambda_Q Q_n} \sqrt{\frac{1 + COV_Q^r}{1 + COV_R^r}} \right]}{\sqrt{\ln(1 + COV_R^r)(1 + COV_Q^r)}} \quad (19)$$

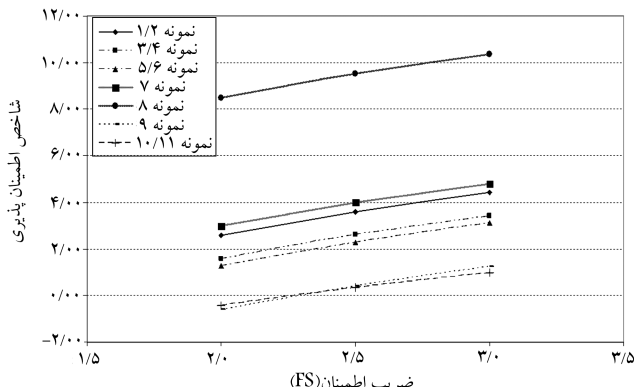
$FS = R_n/Q_n$ را می‌توان براساس ضربی اطمینان (FS) به صورت $11(FS)$ بیان کرد. با در نظر گرفتن ترکیب بارگذاری بار مرده به علاوه‌ی بار زنده‌ی آین نامه‌ی AASHTO خواهیم داشت:

$$\lambda_Q Q_n = \lambda_{QD} QD + \lambda_{QL} QL \quad (20)$$

$$R_n = FS(QD + QL) \quad (21)$$

جدول ۵. محاسبه شاخص اطمینان‌پذیری برای نمونه‌های مورد تحقیق.

β_{mean}	شاخص اطمینان‌پذیری (β)	ضریب اطمینان (FS)	ضریب تغییرات (COV_R)	نسبت بار قابل تحمل با بار طراحی (λ_R)	نمونه
۲,۵۸	۲,۶۴	۲,۶۱	۲,۵۶	۲,۵۲	۲۱
۳,۰۹	۳,۶۵	۳,۶۲	۳,۵۸	۳,۵۳	۲۶
۴,۴۲	۴,۴۸	۴,۴۵	۴,۴۰	۴,۳۶	۴۳
۱,۵۹	۱,۶۵	۱,۶۲	۱,۵۷	۱,۵۳	۴۵
۲,۶۱	۲,۶۶	۲,۶۴	۲,۵۹	۲,۵۴	۷
۳,۴۴	۳,۴۹	۳,۴۷	۳,۴۲	۳,۳۷	۸
۱,۲۹	۱,۳۴	۱,۳۲	۱,۲۷	۱,۲۲	۹
۲,۳۰	۲,۳۵	۲,۳۳	۲,۲۸	۲,۲۳	۱۰
۳,۱۲	۳,۱۸	۳,۱۵	۳,۱۱	۳,۰۶	۱۱
۲,۹۹	۳,۰۴	۳,۰۲	۲,۹۷	۲,۹۲	۱۲
۳,۹۹	۴,۰۴	۴,۰۱	۳,۹۷	۳,۹۲	۱۳
۴,۸۰	۴,۸۵	۴,۸۳	۴,۷۸	۴,۷۴	۱۴
۸,۵۰	۸,۵۵	۸,۵۲	۸,۴۸	۸,۴۳	۱۵
۹,۵۱	۹,۵۷	۹,۵۴	۹,۴۹	۹,۴۵	۱۶
۱۰,۳۴	۱۰,۴۰	۱۰,۳۷	۱۰,۳۲	۱۰,۲۸	۱۷
-۰,۶۱	-۰,۵۵	-۰,۵۸	-۰,۶۲	-۰,۶۷	۱۸
۰,۴۱	۰,۴۶	۰,۴۴	۰,۴۹	۰,۴۴	۱۹
۱,۲۴	۱,۳۰	۱,۲۷	۱,۲۲	۱,۱۸	۲۰
-۰,۴۱	-۰,۳۷	-۰,۳۹	-۰,۴۲	-۰,۴۶	۲۱
۰,۳۵	۰,۳۹	۰,۳۸	۰,۳۴	۰,۳۰	۲۲
۰,۹۸	۱,۰۲	۱,۰۰	۰,۹۶	۰,۹۳	۲۳



شکل ۹. نمودار شاخص اطمینان‌پذیری براساس ضریب اطمینان.

به دست آمده از طرح استاتیکی با مقایسه‌ی آن با تابع آزمون‌های برجا برای شمع‌های پژوهی مورد نظر است.

رابطه‌ی استانداردی نیز وجود دارد که براساس آن می‌توان احتمال گسیختگی معادل یک شاخص اطمینان‌پذیری معین را برای مقادیر تصادفی با توزیع لوگ‌نرمال تخمین زد. این رابطه که امروزه در اغلب منابع^[۱۰] برای موارد مشابه استفاده می‌شود به صورت رابطه‌ی ۲۸ است:

$$P_f = -\Phi^{-1}(\beta) \quad (24)$$

در رابطه‌ی ۲۸، β شاخص اطمینان‌پذیری، P_f احتمال گسیختگی معادل آن و Φ تابع تبدیل β هستند. مقادیر P_f را می‌توان براساس جدول‌های استانداردی که براساس رابطه‌ی ۲۸ و برای توزیع لوگ‌نرمال تهیه شده است استخراج کرد. برای مقادیر β بین ۲ و ۶ می‌توان از رابطه‌ی ۲۹ استفاده کرد:^[۱۰]

$$P_f = 460e^{(-2.3\beta)} \quad (25)$$

که در آن، e عدد نیپر است. با توجه به این رابطه، هرچه β بزرگ‌تر باشد احتمال گسیختگی طرح کاهش می‌یابد و بالعکس.

در شکل ۹ مقادیر شاخص اطمینان‌پذیری براساس ضریب اطمینان FS نیز نشان داده شده است. همان‌طور که انتظار می‌رود با افزایش ضریب اطمینان، احتمال گسیختگی طرح کاهش یافته است.

۶. نتیجه‌گیری

در این نوشتار برای بررسی دقت نتایج ظرفیت باربری شمع حاصل از اندازه‌گیری‌های دینامیکی با استفاده از نرم‌افزار CAPWAP، مطالعه‌ی روی ۱۱ نمونه از آزمون‌های PDA بر شمع‌های مختلف، انجام شده است. نتایج به دست آمده را می‌توان در موارد زیر خلاصه کرد:

(الف) از میان ۱۸ متغیر ورودی مهم که معمولاً برای رسیدن به شاخص تطبیق مناسب، درنظر گرفته می‌شوند، ۶ متغیر میرایی کیس برای نوک و جدار شمع،

میرایی اسمیت برای نوک و جدار شمع و بیشینه‌ی تغییر مکان المان خاک برای نوک و جدار شمع، چون در تعیین مشخصات خاک به کار می‌رond، دارای اهمیت بیشتری هستند؛
ب) با درنظر گرفتن شاخص تطابق یکسان، می‌توان مقادیر متفاوتی برای میرایی کیس
یا اسمیت به دست آورد که چنین نتیجه‌بی برای بیشینه‌ی تغییر مکان الاستیک
خاک نیز صادق است؛
ج) با توجه به مورد اخیر می‌توان نتیجه گرفت که در نبود مشخصات ژئوتکنیک خاک
منطقه، شناخت مشخصات مکانیکی خاک و قضاوت در مورد نوع خاک با
به دست آوردن این مقادیر، اعتبار لازم را نخواهد داشت؛
د) با ثابت بودن شاخص تطابق، تغییرات توزیع مقاومت در المان‌های جدار نزدیک
به نوک و المان نوک شمع در شرایطی که بیشینه‌ی تغییر مکان المان خاکی زیر
نوک شمع و المان خاکی جدار نزدیک به هم باشند، زیاد است. لذا در این موارد
حتی به ازای شاخص تطابق یکسان می‌توان به نسبت‌های مقاومت نوک و جدار
دست یافت؛
ه) مقدار ظرفیت باربری نهایی (مجموع باربری جدار و نوک شمع) به ازاء تحلیل‌های
 مختلف و با درنظر گرفتن شاخص تطابق یکسان، تغییر چندانی نداشته و در یک
 محدوده کوچک ثابت می‌ماند؛
و) در مطالعه‌ی اطمینان‌پذیری برای محاسبه‌ی نسبت بار واقعی تحمل پذیریه ظرفیت
 باربری به دست آمده از طراحی شمع (λ)، تأثیر نقاوت در نتایج CAPWAP
 به ازاء تحلیل‌های متفاوت ظرفیت باربری روی یک شمع نسبت به میانگین

پانوشت

1. pile driving analyzer(PDA)
2. case pile wave analysis program(CPWAP)
3. match quality number(MQ)
4. first order reliability method(FORM)
5. probability density function(PDF)
6. mean value first order second moment(MVFOSM)
7. load & resistance factor design(LRFD)
8. American Association of State Highways & Transportation Organization (AASHTO)
9. coefficient of variation(COV)
10. standard deviation
11. factor of safety

منابع

1. Garland; Rausche, F.; Thendean, G., and Svinkin, M., "CAPWAP correlation studies", *STRESSWAVE '96 Conference: Orlando, FL*; pp.447-464 (1996).
2. Rausche, F.; Robinson, B., and Liang, L., "Automatic signal matching with CAPWAP", *Sixth International Conference on the Application of Stress-wave Theory to Piles: São Paulo, Brazil*; pp.53-58 (2000).
3. Zhang, L.; McVay, M. C., and Charls, W. W. Ng., "A possible physical meaning of case damping in pile dynamics", *Canadian Geotech. J.*, **38**(1), pp.83-94 (2001).
4. Seyed Hoseini-nia, E., "Study of number of pile dynamic testing results by use of PDA and describing the lessons learnt", *7th International Conference on Coasts, Ports and Marine structures, ICOPMAS, Proceeding CD*, Code 278 (2006).
5. Keyhanian, A., "Study of accuracy of PDA based on the static and dynamic pile testing results in bandar abbas dry dock and bandar abbas 150000 ton jetty", *7th International Conference on Coasts, Ports and Marine structures, ICOPMAS, Proceeding CD*, Code 211 (2006).
6. Seyed Hoseini-nia, E., "Assessment of a correlation for determination of pile's in-situ bearing capacity based on the site measurements", *7th International Conference on Coasts, Ports and Marine structures, ICOPMAS, Proceeding CD*, Code 334 (2006).
7. Goble, G.G., "Case-Goble method, derivations & theory guide", *PDA manual of operation*, appendix A, Pile dynamics Inc.
8. Rausche, F.; Likins, G.E., and Goble, G.G., "Design and construction of driven pile foundation", *Publication No. FHWA HI 97-014*, Revised November, National Highway, **2** (1998).
9. Rojhani, M., and Fakher, A., "Evaluation of the Hiley's formula in determination of pile's In-Situ bearing capacity", *2nd Civil Engineering Congress, Proceeding CD*, Code 678 ,pp. 17 (2005).
10. Baecher, B. Gregory, and Christian, T. John, "Reliability & statistics in geotechnical engineering", *John Wiley & Sons Inc.* (2003).